

мкм. Ранее, на препарате изучены результаты, которые я в интегративной деятельности чавшие на стимуляцию ПЛ-ядра более глубоких слоях коры. Вероятно поперечнику поля 7 коры и с большей эффективностью, чем при стимуляции ЛД-ядра, функционируют усиливающие линейные и циклические цепи интернейронов.

Наличие идентифицированных антидромных

Рис. 4. Двумерная гистограмма совместного распределения признаков нейронов — глубины расположения и разброса скрытых периодов, реагировавших на стимуляцию ЛД-ядра.

их исследований показывают симметрических связей поля 7 ТАК с ЛД-ядром и отсутствием выхода из него на стимуляцию ВП на стимуляцию ЛД-ядра. Временное распределение входов дают мнение о мозаичной организа-

ции (PAC) field 7 to the electrical al (PL) thalamic nuclei were studied depth, duration of the background activity for distribution of neurons responses. It is shown that there are functional and specific peculiarities of neurons when a volley of impulses came

интегративной деятельности мозга. — нейронов поля 5 в супрасильвийской извилине ядра таламуса // Нейрофизиология.

3. Вартанян Г. А., Пирогов А. А. Механизмы памяти центральной нервной системы.— Л.: Наука, 1988.—181 с.
4. Васильева Л. А. Физиологическая характеристика ассоциативной системы таламуса: Автореф. дис. ... канд. биол. наук.— Л., 1971.—21 с.
5. Серков Ф. Н. Корковое торможение.— Киев: Наук. думка, 1986.—248 с.
6. Тараненко В. Д. Функциональные свойства нейронов и организация межнейронного взаимодействия в коре головного мозга: Автореф. дис. ... д-ра биол. наук.— Киев, 1985.—46 с.
7. Эзрохи В. Л., Гречушникова Л. С. Идентификация транскаппозальных возбуждающих моносинаптических ответов // Журн. высш. нервн. деятельности.—1978.—28, № 6.— С. 1271—1279.
8. Яновский Е. Ш. Параметры и особенности торможения в нейронах ассоциативной коры головного мозга кошки // Физиол. журн.—1986.—32, № 6.— С. 715—722.
9. Graybiel A. M. Some thalamocortical projections of the pulvinar-posterior system of the thalamus in the cat // Brain Res.—1970.—22, N 1.— P. 131—139.
10. Graybiel A. M. Some ascending connections of the pulvinar and nucleus lateralis posterior of the thalamus in the cat // Ibid.—1972.—44, N 1.— P. 99—125.
11. Lipski J. Antidromic activation of the neurones as an analitic tool in the study of the central nervous system // J. Neurosci. Meth.—1984.—4, N 11.— P. 1—32.
12. Niimi K., Yamazaki Y., Matsuoka H. et al. Thalamic projections to the posterior suprasylvian gyrus and the ventrally adjacent cortex in the cat traced with horse radish peroxidase // J. Hirnforsch.—1985.—26, N 5.— P. 497—508.
13. Robertson R. T. Thalamic projection to parietal cortex // Brain, Behav. Evol.—1977.—14, N 3.— P. 161—184.
14. Robertson R. T., Rinik E. The corticothalamic projections from parietal region of the cerebral cortex. Experimental degeneration studies in the cat // Brain Res.—1973.—51, N 1.— P. 61—79.
15. Steriade M. Input-output organization of parietal association cortex in cat // 27-th Int. Congr. Physiol. Sci.—Paris.—1977.—Vol. 12.— P. 602.

Одес. ун-т им. И. И. Мечникова  
М-ва высш. и сред. спец. образования УССР

Материал поступил  
в редакцию 03.03.90

УДК 616.12—008.9:612.015.3.001.6

В. В. Алабовский, А. А. Винокуров, В. И. Кобрин, О. Д. Олейников

## Предупреждение искусственным увеличением трансмембранныго градиента натрия реперфузионных повреждений сердца при «кальциевом парадоксе» и постишемической реперфузии

На изолированном сердце крыс изучали защитное действие высокого трансмембранного градиента ионов натрия и макроэргических соединений при «кальциевом парадоксе» и постишемической реперфузии. Установлено выраженное защитное действие высокой внеклеточной концентрации натрия при «кальциевом парадоксе». АТФ (100 мкмоль/л) снижала выход миоглобина, а фосфокреатин (100 мкмоль/л) увеличивал его выход из миокарда при «кальциевом парадоксе». На фоне ослабления Na—Ca-обмена высоким трансмембранным градиентом ионов натрия макроэргические соединения АТФ и фосфокреатин эффективно (на 85—91 %) снижали потерю миоглобина при «кальциевом парадоксе». Увеличение внеклеточной концентрации натрия до 180 ммоль/л в период постишемической реперфузии способствовало быстрому восстановлению синусового ритма в 80 % экспериментов, сохранению внутритканевых адениннуклеотидов, снижению накопления кальция в миокарде.

### Введение

Механизм развития реперфузионных повреждений сердечной мышцы до сих пор остается неясным. Считают, что одной из причин этих нарушений является массивный вход  $\text{Ca}^{2+}$  внутрь клеток миокарда [10,

© В. В. АЛАБОВСКИЙ, А. А. ВИНОКУРОВ, В. И. КОБРИН, О. Д. ОЛЕЙНИКОВ, 1991

14–16]. В экспериментальных условиях реперфузионные состояния моделируют восстановлением кровотока после ишемии или реперфузией сердца Са-содержащим раствором после непродолжительного периода перфузии бескальциевой средой («кальциевый парадокс») [24]. Исследование механизмов развития «кальциевого парадокса» установило, что в период перфузии сердца Са-содержащим раствором происходит значительное (на 75 %) снижение активности Na, K-АТФазы и накопление в миокарде  $\text{Na}^+$  [12–14, 22, 23]. Во время реперфузии сердца бескальциевым раствором происходит значительное поступление  $\text{Ca}^{2+}$  в кардиомиоциты, приводящее к разобщению процессов окисления и фосфорилирования в митохондриях, быстрому распаду макроэргических соединений, выходу во внеклеточную среду миоглобина, ферментов и других веществ [11, 12, 14, 16, 24]. Попытки предупредить повреждение клеток снижением концентрации кальция или применением верапамила не привели к ожидаемым результатам [10, 14, 15, 21].

Учитывая накопление в клетках натрия за период перфузии сердца бескальциевой средой, предполагается, что в этот процесс вовлекается механизм Na—Са-обмена [1, 13, 23]. Поэтому мы предприняли попытку ослабить повреждение клеток при «кальциевом парадоксе» и постигемической реперфузии воздействием на Na—Са-обмен высоким трансмембранным градиентом натрия. Так как ранее была обнаружена способность экзогенной АТФ активировать Na, K-АТФазу и усиливать поглощение  $\text{K}^+$  изолированным сердцем крысы [1, 5], для более эффективного поддержания градиента натрия на высоком уровне были использованы АТФ и фосфокреатин.

### Методика

Эксперименты проводили на извлеченном из грудной клетки наркотизированного животного (110 крыс массой 180–200 г) сердце. Изолированное сердце перфузировали раствором следующего состава (ммоль/л):  $\text{NaCl}$  — 140;  $\text{NaHCO}_3$  — 2;  $\text{NaH}_2\text{PO}_4$  — 0,5;  $\text{KCl}$  — 3; глюкозы — 11;  $\text{CaCl}_2$  — 2; трис-ОН — 2 (рН 7,4). Раствор оксигенировали, подогревали до 37 °C и подавали в аорту при постоянном протоке — 10 мл/(мин·г). Внеклеточную концентрацию ионов натрия увеличивали в период перфузии сердца бескальциевой средой или реперфузии после ишемии. Меру повреждения клеток оценивали по интенсивности выхода миоглобина в перфузат, концентрацию которого определяли спектрофотометрически при длине волн 420 нм [11]. Количество АТФ, АДФ, АМФ в ткани сердца и активность ЛДГ в оттекающем перфузате определяли по стандартным энзиматическим методикам. Рассчитывали следующие показатели: общее содержание адениннуклеотидов (АДНК), энергетический заряд (ЭЗ), фосфатный потенциал (ФП). Содержание кальция в сердечной ткани определяли на атомно-адсорбционном спектрометре «Perkin — Elmer» (США). Для регистрации электрической активности отдельных кардиомиоцитов использовали «плавающие микроэлектроды», по ним оценивали потенциал покоя и амплитуду потенциала действия. Полученные результаты обрабатывали методом вариационной статистики с применением критерия Стьюдента. В статье обсуждаются только достоверные изменения ( $P < 0,05$ ).

### Результаты и их обсуждение

Перфузия сердца Са-содержащим раствором по прошествии 30 мин перфузии бескальциевой средой, содержащей 0,5 ммоль/л ЭДТА, сопровождалась массивным выходом миоглобина в перфузат. Создание искусственно высокого трансмембранного градиента натрия увеличением его внеклеточной концентрации до 200 ммоль/л более чем на 70 % ослабляло потерю сердцем миоглобина. Аналогичным защитным действием обладали растворы, содержащие в своем составе АТФ (100 мкмоль/л). Другое макроэргическое соединение — фосфокреатин (100 мкмоль/л) не только не уменьшало, но и увеличивало выход миоглобина в перфузат на 60–70 % по сравнению с контролем.

и электролитного обмена. Однако на фоне перфузии креатин значительно уменьшает Са-содержащим растворы, содержащие высокий АТФ. Потеря сердцем миоглобина всего 10–15 % контроля (в роли, 2–120 мкмоль сахара, фосфокреатина, 4–100 мкмоль  $\text{NaCl}$ , 6–100 мкмоль  $\text{NaCl}$ , 7–100 мкмоль  $\text{NaCl}$ .

Таким образом, искусственно созданный градиент натрия ослаблял повреждение клеток, вызванное массивным поступлением натрия внутрь клеток при «кальциевом парадоксе».

Выход миоглобина из сердца в ткань сердца Са-содержащим раствором перфузии бескальциевой средой.

В связи с тем, что нуклеотидом активировать  $\text{Na}^+$ -насос [5], трансмембранный градиент поддерживался на высоком уровне было поступление  $\text{Ca}^{2+}$  в клетку.

Можно, однако, предположить, что связь связана с ее высоким уровнем, что повышение осмотического давления 120 мкмоль миоглобина из сердца при «кальциевом парадоксе» разом, защитное действие которого основано на повышенной осмотиче-

В отличие от АТФ, фосфокреатин увеличивал выход миоглобина из сердца. Этот результат согласуется с тем, что повреждающее действие фосфокреатина на клетки характеризуется наличием больших концентраций ионов кальция. Повышение концентрации ионов кальция в клетке приводит к блокированию внутриклеточных реакций. Возрастание концентрации  $\text{Ca}^{2+}$  в миоцитах стимулирует фосфокреатин, приводит к необратимому гибели кардиомиоцитов, свойство экзогенного кальция — это трансмембранный градиент, который приводит к необратимому гибели кардиомиоцитов. Реализовать свои защитные свойства.

Далее было изучено влияние высокого градиента натрия на состояние миоглобина. Установлено, что реперфузия сердца в 80 % случаев к возникновению повреждения клеток приводила к снижению потенциала действия (таблица). При этом градиент натрия был создан путем добавления к бескальциевому раствору 200 мкмоль/л АТФ. Суммарная концентрация АТФ, суммарная концентрация фосфокреатина и суммарная концентрация кальция в бескальциевом растворе были одинаковы.

ях реперфузионные состояния после ишемии или реперфузом после непродолжительного («кальциевый парадокс») [24]. «кальциевого парадокса» устанавливавшим раствором проявление активности  $\text{Na}^+$ , К-АТФазы [22, 23]. Во время реперфузии наблюдается значительное поступление изобещанию процессов окисления быстрому распаду макроэргиче-ю среду миоглобина, ферментов опытки предупредить повреждение или применением верапамила [10, 14, 15, 21].

рия за период перфузии сердца что в этот процесс вовлекается Поэтому мы предприняли по-«кальциевом парадоксе» и по-на  $\text{Na}^+$  —  $\text{Ca}^{2+}$ -обмен высоким как ранее была обнаружена что  $\text{Na}^+$ , К-АТФазу и усиливать крысы [1, 5], для более эффективном высоком уровне были ис-

м из грудной клетки наркотиком 180—200 г) сердце. Изолированием следующего состава  $\text{CaH}_2\text{PO}_4$  — 0,5;  $\text{KCl}$  — 3; глюкозы 4). Раствор оксигенировали, при постоянном протоке — ионов натрия увеличивали средой или реперфузии после изменили по интенсивности выхода которого определяли спектрометрическим методикам. Рассчитывали содержание адениннуклеотидов фосфатный потенциал (ФП). и определяли на атомно-адсорбционном (США). Для регистрации кардиомиоцитов использовали изменили потенциал покоя иные результаты обрабатывали изменением критерия Стьюдендера — изменения ( $P < 0,05$ ).

ом по прошествии 30 мин ащей 0,5 ммоль/л ЭДТА, солюбина в перфузат. Создание градиента натрия увеличено 00 ммоль/л более чем на 70 %. Аналогичным защитным действие в своем составе АТФ соединение — фосфокреатин не и увеличивало выход миоглобину с контролем.

Однако на фоне перфузии сердца гипернатриевой средой фосфокреатин значительно уменьшал выход миоглобина, вызванный реперфузией  $\text{Ca}^{2+}$ -содержащим раствором. Таким же действием обладали растворы, содержащие высокую внеклеточную концентрацию натрия и АТФ. Потеря сердцем миоглобина составила всего 10—15 % контроля (рисунок: 1 — контроль, 2 — 120 ммоль сахарозы, 3 — 100 мкмоль фосфокреатина, 4 — 100 мкмоль АТФ, 5 — 200 ммоль  $\text{NaCl}$ , 6 — 100 мкмоль АТФ, 200 ммоль  $\text{NaCl}$ , 7 — 100 мкмоль фосфокреатина и 200 ммоль  $\text{NaCl}$ ).

Таким образом, искусственное увеличение трансмембранных градиентов натрия существенно ослабляло повреждение кардиомиоцитов, вызванное массивным поступлением  $\text{Ca}^{2+}$  внутрь клеток при «кальциевом парадоксе».

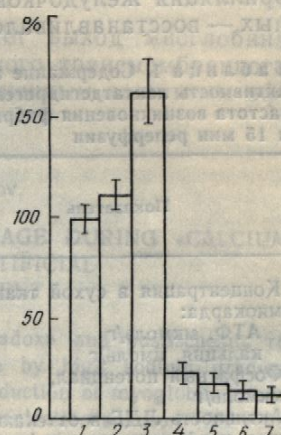
Выход миоглобина из сердца в течение 5 мин реперфузии сердца  $\text{Ca}^{2+}$ -содержащим раствором после 30 мин перфузии бескальциевой средой.

В связи с тем, что нуклеотид обладает свойством активировать  $\text{Na}^+$ -насос сарколеммы [1, 5], трансмембранный градиент ионов натрия поддерживался на высоком уровне, в результате чего, вероятно, ослаблялось поступление  $\text{Ca}^{2+}$  внутрь клеток через систему  $\text{Na}^+$  —  $\text{Ca}^{2+}$ -обмена.

Можно, однако, предположить, что защитный эффект гипернатриевой среды связан с ее высоким осмотическим давлением. Установлено, что повышение осмотического давления в бескальциевом растворе добавлением 120 ммоль/л сахарозы не влияло на выход миоглобина из сердца при «кальциевом парадоксе» (см. рисунок). Таким образом, защитное действие гипернатриевой среды, по-видимому, не связано с повышенной осмотичностью раствора.

В отличие от АТФ, фосфокреатин не только не уменьшал, но и увеличивал выход миоглобина из сердца при «кальциевом парадоксе». Этот результат согласуется с данными, полученными при использовании больших концентраций фосфокреатина (10 мкмоль/л) [2, 3]. Считается, что повреждающее действие фосфокреатина связано с его поступлением внутрь клеток через измененную бескальциевую среду сарколемму [3, 14, 22]. Проникая в кардиомиоциты, фосфокреатин мог увеличивать внутриклеточное содержание АТФ в ходе креатинкиназной реакции. Возрастание АТФ в клетках в период массивного поступления  $\text{Ca}^{2+}$  в миоциты стимулирует  $\text{Ca}^{2+}$ -поглощающую способность митохондрий, приводит к необратимому разобщению окисления и фосфорилирования, гибели кардиомиоцитов [6, 22]. Этому также могло содействовать свойство экзогенного фосфокреатина усиливать медленно входящий кальциевый ток внутрь клеток [20]. Искусственное увеличение трансмембранных градиентов натрия позволяло, вероятно, ослабить поступление  $\text{Ca}^{2+}$  в кардиомиоциты, вследствие чего фосфокреатин мог реализовать свои защитные свойства [7—9].

Далее было изучено влияние повышенной внеклеточной концентрации натрия на состояние сердца при постишемической реперфузии. Установлено, что реперфузия сердца после 20 мин ишемии приводила в 80 % случаев к возникновению фибрилляции желудочек. При этом наблюдалась снижение потенциала покоя и уменьшение амплитуды потенциала действия (табл. 1, 2). Искусственное повышение трансмембранных градиентов натрия увеличением его внеклеточной концентрации до 180 ммоль/л или добавление 200 мкмоль/л АТФ во время реперфузии значительно снижало общее количество  $\text{Ca}^{2+}$  в ткани, увеличивало концентрацию АТФ, суммарных АДНК, ФП, ЭЗ кардиомиоцитов. При этом существенно уменьшался выход ЛДГ в перфузат (см. табл. 1). Высокая внеклеточная концентрация натрия, так же как и АТФ,



улучшала показатели электрической активности отдельных кардиомиоцитов. При этом к 15-й минуте реперфузии потенциал покоя и амплитуда потенциала действия нормализовались быстрее, чем в контроле (см. табл. 2). Важно отметить, что в этих сериях эксперимента фибрилляция желудочков развивалась только в 20 % случаев, в остальных — восстанавливался синусовый ритм.

**Таблица 1.** Содержание адениннуклеотидов и кальция в миокарде, активность лактатдегидрогеназы (ЛДГ) в оттекающем перфузате, частота возникновения фибрилляции желудочков после 20 мин ишемии и 15 мин реперфузии

Показатель	До реперфузии (контроль)	Реперфузия раствором, содержащим	
		200 мкмоль АТФ	200 мкмоль NaCl
<b>Концентрация в сухой ткани миокарда:</b>			
АТФ, мкмоль/г	8,02±0,64	11,7±1,1*	10,2±0,49*
кальция, нмоль/г	6,75±0,48	4,35±0,58*	3,38±0,35*
Фосфатный потенциал, мкмоль/г	43·10 <sup>-3</sup>	59·10 <sup>-3</sup> *	44·10 <sup>-3</sup> *
Активность ЛДГ в оттекающем перфузате, мкмоль/мин·×	0,17±0,07	0,1±0,05*	0,07±0,03*
Частота развития фибрилляции желудочков, %	80	20	20

\* P<0,05.

**Таблица 2.** Параметры трансмембранных потенциалов кардиомиоцитов до ишемии и после 15 мин постишемической реперфузии изолированного сердца

Условие опыта	Потенциал покоя, мВ	Потенциал действия, мВ	Ритм сердцебиений
Контроль	-81,1±1,1	104,1±4,3	4,3±0,3
Реперфузия (контроль)	-67,0±3,2*	75,2±2,9*	—
Реперфузия (АТФ—200 мкмоль)	-74,1±3,7*	85,5±4,4*	5,3±0,4*
Реперфузия (NaCl—200 мкмоль)	-79,3±2,3	107,3±4,4	4,4±0,3

\* P<0,05.

Таким образом, полученные результаты свидетельствуют о возможности участия системы Na—Ca-обмена в развитии реперфузионных повреждений сердечной мышцы (при «кальциевом парадоксе» и постишемической реперфузии), поскольку эти повреждения удается эффективно ослабить созданием высокого трансмембранного градиента натрия. Механизм действия гипернатриевой среды, вероятно, связан с конкуренцией Na<sup>+</sup> и Ca<sup>2+</sup> на внешней стороне Na—Ca-обменника и активированием Na, K-АТФазы [1, 5, 17]. Экзогенная АТФ способствовала сохранению высокого трансмембранного градиента натрия, так как нуклеотид обладает свойством активировать Na, K-АТФазу. Возможно, что подобным свойством в условиях целого органа обладает и фосфокреатин. В результате поддерживания высокого трансмембранного градиента натрия, вероятно, происходило торможение входа Ca<sup>2+</sup> в клетки в период реперфузии, что препятствовало нарушению энергетического обмена и электрической активности в период реперфузии.

## Выводы

1. Высокая внеклеточная концентрация натрия (180 и 200 ммоль/л) значительно уменьшает реперфузионные нарушения энергетического

и электролитного обмена в действие гипернатриевой среды при парадоксе».

2. Экзогенная АТФ эффективного повреждения в «кальциевом парадоксе».

3. Фосфокреатин (100 мкмоль/л) при «кальциевом парадоксе» градиента натрия фосфокреатином.

V. V. Alabovsky, A. A. Vinokurov, V. N. Burdenko

## PREVENTION OF THE REPERFUSION PARADOX AND POSTISCHEMERIC INCREASE OF THE TRANSMEMBRANE POTENTIALS IN CARDIOMYOCYTES

An effect of the high sodium gradient on myocardial cells during reperfusion has been studied. A decrease in the sodium concentration (200 mM NaCl in the perfusion solution) from the heart during «calcium paradox» increased protective effect of ATP. Creatine (100 μmol/mol) increased myocardial resistance to the heart by high sodium concentration (200 mM NaCl in the perfusion solution) and high Na<sup>+</sup> concentration in the myocardiun, decreased ATP hydrolysis, increased the activity of nucleotides, phosphate potential in the myocardium.

N. N. Burdenko Medical Institute, V. N. Burdenko

## СПИСОК ЛИТЕРАТУРЫ

1. Алабовский В. В. Энергозависимой концентрации натрия и аммония на клетках сердца // Физиология сердца. — М., 1986. — 27 с.
2. Джавадов С. А., Лакомкин В. А. Механизм действия экзогенного кальция на сердце // Физиология сердца. — М., 1984. — 27 с.
3. Джавадов С. А., Преобразование действия фосфокреатина на сердце // Физиология сердца. — М., 1984. — С. 58—67.
4. Корбин В. И., Алабовский В. В. Установление ритма сердца и стабилизация клеток сердца и сосудов при высокой концентрации натрия // Физиология сердца. — М., 1984. — 27 с.
5. Кужман М. И., Алабовский В. В. Установление ритма сердца путем высокой концентрации натрия // Вестн. АМН СССР. — 1984. — № 10.
6. Лейкин Ю. Н., Виноградов Е. А. Установление ритма сердца путем фосфорилирования в митохондриях // Физиология сердца. — М., 1984. — С. 17.
7. Могилевский Г. М., Шаров Е. А. Установление ритма сердца путем ферментативных реакций // Физиология сердца. — М., 1984. — С. 17.
8. Руда М. Я., Самаренко М. Б. Установление ритма сердца и стабилизация клеток сердца и сосудов при высокой концентрации натрия // Физиология сердца. — М., 1984. — 27 с.
9. Сакс В. А., Джавадов С. А. Установление действия фосфокреатина на сердце // Физиология сердца. — М., 1984. — 27 с.
10. Bourdillon P. D. V., Poole-Wilson P. A. Effect of calcium channel blockers on myocardial contractility // Circulation Res. — 1982. — № 50. — P. 166—171.
11. Busselen P. Suppression of cellular factors which reduce calcium uptake // Circulation Res. — 1982. — № 50. — P. 166—171.
12. Chapman R. A., Rodrigo G. C. Effect of intracellular sodium ions on myocardial contractility // Circulation Res. — 1982. — № 50. — P. 166—171.
13. Chapman R. A. Calcium channels in myocardial cells // Circulation Res. — 1982. — № 50. — P. 166—171.

ISSN 0201-8489. Физиол. журн.

тивности отдельных кардиомиоузии потенциал покоя и амплифицились быстрее, чем в контроле в этих сериях эксперимента фильтро в 20 % случаев, в остальном.

кальция в миокарде, ющем перфузате, после 20 мин ишемии

Реперфузия раствором, содержащим	
200 мкмоль АТФ	200 ммоль NaCl

11,7±1,1*	10,2±0,49*
4,35±0,58*	3,38±0,35*
59·10 <sup>-3</sup> *	44·10 <sup>-3</sup> *
0,1±0,05*	0,07±0,03*
20	20

ациалов кардиомиоцитов реперфузии изолированного сердца

Потенциал действия, мВ	Ритм сердцебиений
104,1±4,3	4,3±0,3
75,2±2,9*	—
85,5±4,4*	5,3±0,4*
107,3±4,4	4,4±0,3

таты свидетельствуют о возникновении в развитии реперфузии «кальциевом парадоксе» и то, что эти повреждения удаётся предотвратить трансмембранным градиентом натрия, так как повышение концентрации натрия в миокарде при изменении трансмембранных градиентов не приводит к повреждению миокарда.

натрия (180 и 200 мкмоль/л) не нарушили энергетического

и электролитного обмена в сердце после 20 мин ишемии. Защитное действие гипернатриевой среды ярко выражено в условиях «кальциевого парадокса».

2. Экзогенная АТФ эффективно предупреждает развитие реперфузионного повреждения во время постишемической реперфузии и «кальциевого парадокса».

3. Фосфокреатин (100 мкмоль/л) усиливает выход миоглобина при «кальциевом парадоксе». В условиях высокого трансмембранных градиента натрия фосфокреатин обладает выраженным защитным эффектом.

V. V. Alabovsky, A. A. Vinokurov, V. I. Kobrin, O. D. Oleinikov

#### PREVENTION OF THE REPERFUSION HEART DAMAGE DURING «CALCIUM PARADOX» AND POSTISCHEMIC REPERFUSION BY ARTIFICIAL INCREASE OF THE TRANSMEMBRANE SODIUM GRADIENT

An effect of the high sodium gradient during «calcium paradox» and postischemic reperfusion has been studied. A decrease of Na/Ca exchange by high sodium gradient (200 mM NaCl in the perfusion solution) resulted in the reduction of myoglobin release from the heart during «calcium paradox». High sodium concentration solution (200 mM) increased protective effect of ATP during «calcium paradox». Exogenous phosphocreatine (100 μmol/mol) increased myoglobin release from the heart. During perfusion of the heart by high sodium concentration, phosphocreatine efficiently decreased myoglobin release from the heart during «calcium paradox». Exogenous ATP (as Na-pump activator) and high Na<sup>+</sup> concentration solution (180 mM) prevented the LDH release from the myocardium, decreased ATP hydrolysis, inhibited Ca influx, maintained total adenine nucleotides, phosphate potential, energy charge of the cardiomyocytes.

N. N. Burdenko Medical Institute, Voronezh

#### СПИСОК ЛИТЕРАТУРЫ

- Алабовский В. В. Энергозависимые процессы в миокарде при изменении внеклеточной концентрации натрия и активировании Na<sup>+</sup>-Ca<sup>2+</sup> обмена: Автореф. дис. ... д-ра мед. наук.—М., 1986.—27 с.
- Джавадов С. А., Лакомкин В. Л., Преображенский С. Н., Шаров В. М. Основным местом действия экзогенного фосфокреатина является сарколемма // Метаболизм, структура и функция сердечной клетки.—Баку.—1986.—С. 64.
- Джавадов С. А., Преображенский А. Н., Лакомкин В. Л. и др. Некоторые аспекты действия фосфокреатина на миокард // Вестн. АМН СССР.—1986.—№ 12.—С. 58—67.
- Кобрин В. И., Алабовский В. В., Алипов Н. И., Олейников О. Д. Электрическая активность клеток сердца и сократимость миокарда при изменении внеклеточной концентрации натрия // Физиол. журн. СССР.—1988.—№ 9.—С. 1257—1262.
- Кужман М. И., Алабовский В. В., Олейников О. Д. Предупреждение фибрилляции желудочков сердца путем активирования Na<sup>+</sup>-K<sup>+</sup>-АТФазы в эксперименте // Вестн. АМН СССР.—1984.—№ 8.—С. 35—41.
- Лейкин Ю. Н., Виноградов А. Д. Влияние аккумуляции Ca<sup>2+</sup> на окислительное фосфорилирование в митохондриях печени // Митохондрии. Молекулярные механизмы ферментативных реакций.—М., 1972.—С. 131—137.
- Могилевский Г. М., Шаров В. Г., Сакс В. А. и др. Структурно-биохимическая характеристика эффективности интраоперационной защиты сердца человека кардиоплегическими растворами // Метаболизм, структура и функция сердечной клетки.—Баку.—1986.—С. 17.
- Руда М. Я., Самаренко М. Б., Афонская Н. И. и др. Применение фосфокреатина у больных с острой инфарктом миокарда // Там же.—С. 11.
- Сакс В. А., Джавадов С. А., Преображенский А. Н. и др. Биохимические аспекты защитного действия фосфокреатина на ишемический миокард // Там же.—С. 8.
- Bourdillon P. D. V., Poole-Wilson P. A. The effects of verapamil, guiescence and cardiacoplegia on calcium exchange and mechanical function in ischemic rabbit myocardium // Circulat Res.—1982.—50, N 3.—P. 360—388.
- Busselen P. Suppression of cellular injury during the calcium paradox in rat heart by factors which reduce calcium uptake by mitochondria // Pflugers Arch.—1985.—404, N 2.—P. 166—171.
- Chapman R. A., Rodrigo G. C., Tunstall J. et al. Calcium paradox of the heart: a role of intracellular sodium ions // Amer. J. Physiol.—1984.—247, N 5.
- Chapman R. A. Calcium channels, the sodium—calcium exchange, and intracellu-

- lar sodium in the predisposition of the heart to the Calcium paradox // Biomed. et biochim. acta. — 1987. — 46, N 8/9. — П. 512—516.
14. Grinwald P. M., Nayler W. G. Calcium entry in Calcium paradox // J. Mol. and Cell Cardiol. — 1981. — 13, N 8. — P. 867—881.
  15. Grinwald P. M. Calcium uptake during postischemic reperfusion in the isolated rat heart: influence of extracellular sodium // Ibid. — 1982. — 14, N 3. — P. 359—365.
  16. Hearse D. J., Baker J. E., Humphrey S. M. Verapamil and the Calcium paradox // Ibid. — 1980. — 12, N 7. — P. 733—740.
  17. Nakanishi G., Jarmakani J. The effect of extracellular sodium on mechanical function in the newborn rabbits // Develop. Pharmacol. Ther. — 1981. — 2. — P. 188—200.
  18. Nayler W. G. Calcium-mediated Damage during Post-ischemic reperfusion // J. Mol. and Cell. Cardiol. — 1988. — 20. — P. 41—54.
  19. Poole-Wilson P. A., Harding D. P., Bourdillon P. Calcium out control // Ibid. — 1984. — 16. — P. 175—188.
  20. Rosenshtraukh L. V., Saks V. A., Yuravichus I. et al. // Biochem. Med. — 1979. — 21. — P. 1—15.
  21. Ruey P. Verapamil // Clin. Invest. Med. — 1981. — N 1. — P. 129—147.
  22. Ruigrok T. J. C. Possible mechanisms involved in the development of the calcium paradox // Gen. Physiol. and Biophys. — 1985. — N 4. — P. 155—165.
  23. Tunstall J., Busselen P., Rodrigo G. C., Charman R. A. Pathways for the Movements of ions during calcium-free perfusion and the induction of the «Calcium paradox» // J. Mol. and Cell. Cardiol. — 1986. — 18. — P. 241—254.
  24. Zimmekman A. N. E., Daems W., Hulsmann W. G. et al. Morphological changes of heart muscle caused by successive perfusion with calcium-free and calcium-containing solution («Calcium paradox») // Cardiovasc. Res. — 1967. — 1. — P. 201—209.

Воронеж. мед. ин-т им. Н. Н. Бурденко  
М-ва здравоохранения РСФСР

Материал поступил  
в редакцию 15.03.90

УДК 612.172—616.001.8

П. Б. Цывьян, А. Д. Васенина

## Неинвазивная оценка систолической и диастолической функций левого желудочка у новорожденных детей, перенесших гипоксию

У 32 здоровых новорожденных (I группа) и 22 новорожденных доношенных детей, перенесших гипоксию (II группа), в первые сутки жизни измеряли максимальное артериальное давление (АД) и, одновременно, конечно-систолический диаметр (КСД) левого желудочка (ЛЖ). В качестве показателя сократимости желудочка использовали тангенс угла наклона ( $\alpha$ ) зависимости «конечно-систолический диаметр — конечно-систолическое давление» (КСДД) в условиях нефармакологического изменения постнагрузки. У детей II группы обнаружены более низкие значения  $\alpha$  ( $5,9 \pm 0,6$ ), чем у детей I группы ( $14,4 \text{ мм рт. ст.}/(\text{см}^2) \pm 0,9$  мм рт. ст.  $/(\text{см}^2)$ ), а также меньшие значения показателей диастолической функции, которые вместе с  $\alpha$  могут служить ранними индексами постгипоксического повреждения миокарда новорожденных детей.

### Введение

Известно, что большинство традиционно используемых в клинике индексов оценки сократительной активности сердца (фракция выброса, скорость циркулярного укорочения волокон желудочка, ударный объем) зависит от условий механической нагрузки на миокард (пред- и постнагрузки) [6]. Отсюда понятен интерес исследователей, и особенно клиницистов, к поиску новых адекватных индексов сократимости миокарда и способов их определения.

В настоящее время найден относительно не чувствительный к ус-

© П. Б. Цывьян, А. Д. Васенина, 1991

ловиям нагрузки показательно-систолический объем левого желудочка [13]. Эта зависимость, тангенс угла наклона миокарда. Угол наклона зависит от инотропных воздействий, но существенное значение имеет полнение желудочка и перенос питательных веществ.

Несмотря на то, что (ЛЖ) по динамике его появления на животных уменьшается с возрастом, зависимость конечно-систолического объема от постнагрузки неизменна.

Построение зависимости конечно-систолического давления от постнагрузки. Для неинвазивных методов изменения постнагрузки, например, при суточном мониторинге, очевидно, что такой подход возможно после перинатальной гипоксии, возникающей в период беременности или в первые часы жизни.

Однако в ряде случаев из-за четкой картины сердечной недостаточности, указанные параметры выходят за пределы нормы, но при увеличении объема или давления не проявляются. Оценка индексов сократимости может быть осуществлена на основе индексов, определяемых в определенных условиях, соответствующих гипоксии и повышенному давлению, ударному объему (УОК и МОК) соответствующих показателей [4].

Однако в ряде случаев из-за четкой картины сердечной недостаточности, указанные параметры выходят за пределы нормы, но при увеличении объема или давления не проявляются. Оценка индексов сократимости может быть осуществлена на основе индексов, определяемых в определенных условиях, соответствующих гипоксии и повышенному давлению, ударному объему (УОК и МОК) соответствующих показателей [4].

Цель работы — оценка

у новорожденных детей, перенесших гипоксию, с помощью неинвазивного метода оценки постгипоксической функции левого желудочка у этой группы детей.

### Методика

Обследованы 32 здоровых новорожденных (I группа) и 22 доношенных детей, перенесших гипоксию (II группа), с оценкой по шкале Гриффина. Во всех случаях гипоксия развивалась в результате кислотно-щелочного дисбаланса, обусловленного различными причинами. Все дети обследованы в первые сутки жизни. Всего было обследовано 64 ребенка. Средний возраст при рождении составил 3352 г ± 127 г, средний вес 3282 г ± 218 г, средний рост 52,0 см. Проводили обследование с помощью портативного монитора «Ausonyks» модели «1